



The use of pore volume characteristics and soil moisture release curve to determine physical quality of soils with different gypsum contents

*Al-Kayssi A.W. and Ahmed Dawood Salman

*Tikrit University / Agricultural Machinery and Equipment Department
Tikrit University / Soil Science and Water Resources Department

Article Info.

Received
2021 / 3 / 1
Publication
2021 / 4 / 12

Keywords

S-index, Pore volume, gypsum content, Air Capacity, Bulk Density, Organic Carbon

Abstract

A newly proposed concept of soil physical quality and its development as a guide to assess the extent of soil degradation or improvement and to determine appropriate soil management. The study aimed to: evaluate the soil physical quality index of gypsiferous soils under different management systems as well as determine the optimal pore size distribution and the optimum moisture-tension curve based on the quality of the physical soil properties under different management systems and diagnose the distribution of pore sizes and moisture-tension curves that could be used to predict the changes in the physical quality of gypsiferous soils because of the applied agricultural management pattern. Physical indicators measured on undisturbed soil samples collected from 15 selected sites in Salah Aldeen Governorate, with different gypsum content (30 to 301 g kg⁻¹ soil). The results showed that the best distribution of measured pore size (h) S *, (Normalized pore volume) was for a group of soils that were largely similar in terms of shape and location parameters. Accordingly, the optimal pore distribution considered representative of these soils. The results showed the possibility of using the (Dexter-S) indicator correctly and in coordination with the distribution of pore size and the soil moisture characteristic curve to calculate the physical soil quality in soils of different gypsum content.

Corresponding author: E-mail(wa.alkayssi@tu.edu.iq) Al- Muthanna University All rights reserved

تحديد النوعية الفيزيائية لبعض الترب الجبسية باستعمال دلائل التربة وتوزيع احجام المسامات

*أحمد داود سلمان و عبد الوهاب عبد الرزاق القيسى

*جامعة تكريت / قسم المكانين والآلات الزراعية

جامعة تكريت / قسم علوم التربة والموارد المائية

اقتصر مفهوم نوعية التربة الفيزيائي حديثاً وتطور استخدامه كدليل (indicator) لتقييم مدى تدهور أو تحسين التربة وتحديد الادارة المناسبة للتربة. استهدفت الدراسة (1) تقييم مؤشر نوعية التربة الفيزيائية لترسب جبسي تحت نظم ادارة مختلفة (2) معرفة توزيع حجم المسام الامثل ومنحنى الشد الرطوبى الامثل استناداً لنوعية خصائص الترب الفيزيائية تحت نظم ادارة ترب مختلفة (3) تشخيص توزيع احجام المسام ومحنيات الشد الرطوبى التي يمكن ان تستخدم للتتبؤ بتغيرات النوعية الفيزيائية للترسب الجبسية كنتيجة لنمط الادارة الزراعية المطبق. قيست المؤشرات الفيزيائية في المختبر لنماذج ترب جببية غير مثار، جمعت من 15 موقع منتخب من محافظة صلاح الدين وتخالف بمحتواها من الجبس (30 إلى 301 غم kg⁻¹ تربة). بينت النتائج ان أفضل توزيع لحجم المسام المقاييس كانت لمجموعة الترب التي كانت متماثلة الى حد كبير من حيث عوامل الشكل والموقع وبناءً على ذلك اعتبر توزيع المسام الامثل ممثلاً لهذه الترب. بينت النتائج امكانية استخدام مؤشر (Dexter-S) بشكل صحيح وبالتنسيق مع توزيع حجم المسام ومنحنى الوصف الرطوبى للترسب لحساب نوعية التربة الفيزيائية في ترب ذات محتوى جبسي مختلف.

المقدمة: تعد تجمعات التربة من الخصائص المهمة في النظام البيئي للتربيـة

وتتأثر بعدد من العمليـات الفيـزيـائـية والـكـيمـيـائـية والـحـيـوـيـة،

مجموعة واسعة ومتعددة من البيانات لتراب مختلف كتوزيع حجوم مفصولات التربة والمادة العضوية (الكربون العضوي) والمحتوى الكلى لمعادن الكربونات ومحتوى الجبس والكتافة الظاهرية والتوزيع الحجمي لتجمعات التربة ومعدل القطر الهندسي وأكاسيد الحديد الحرة ونقطة الذبول والسعه الحقلية والإيسالية المائية المشبعة والإيسالية الكهربائية (EC) والاس الهيدروجيني (pH) Rawlsa et Wosten and van Genuchten , 1988 Buccigrossi et al., Moreira et al., 2004 2003 Jafarnejadi et al., Keshavarzi et al., 2010 2010 و 2012 (Shalmani et al., 2010).

المواد وطرائق العمل:

مصادر جمع عينات الترب الجبسية:

اخذت نماذج تربة من 15 موقع تم اختيارها في محافظة صلاح الدين شمال مناطق جامعة تكريت والديوم والعلم والدور. تميزت المواقع المختلفة باختلاف محتواها من الجبس ونوع الادارة المستخدمة ونظام الزراعة وطريقة الري (جدول 1). صنفت مواقع الدراسة الى ثلاثة مجتمعات اعتماداً على مؤشرات النوعية الفيزيائية للتراب وكما يلي:

أولاً: شملت المجموعة الأولى عينات التربة للمواقع ذات النوعية الفيزيائية جيدة جداً (DO-G1-NC و UN-G7-D1 و TI- AL-G15-NC و AL-G14-NC و G10-SI و G10) ، والتي بلغت نسب الجبس فيها 30 و 110 و 140 و 212 و 301 غم كغم.¹ تربة على الترتيب، موقع نماذج الترب الأولى والرابعة والسادسة كانت غير مزروعة وغير مستغلة اما الترب الثانية فكانت ترب مزروعة بمحصول البطاطا وتروى بنظام الري بالتنقيط وكانت التربة الثالثة مستغلة ومزروعة بمحصول الحنطة وتروى بطريقة الري السطحي.

ثانياً: شملت المجموعة الثانية نماذج التربة للمواقع ذات النوعية الفيزيائية الجيدة (DO-G2-NC و UN-G4- NC و DO-G3-NC و DO-G12-NC و UN-G11-SI و DO-G6-NC و SI) والتي بلغت نسب الجبس فيها 42 و 58 و 68 و 103 و 150

فالجماعات هي ناتج عملية ترتيب وتنظيم وتماسك دقائق التربة بوجود كarbon التربة العضوي وأيونات موجبة متعددة التكافؤ والطين والمعادن والكائنات الدقيقة التي لها دور رئيس في هذه العملية (Neelam et al., 2010).

الحizin المسامي للتربة هو الحizin الذي يشغل كل من الهواء والماء أو أحدهما وفق ظروف تلك التربة ومحتواها الرطوبوي. وتتحدد طبيعة ذلك الحizin حسب تنظيم دقائق التربة الصلبة وتجمعاتها، فإذا كان انتظام تلك الدقائق بشكل متزامن ومتلائص وفي تماس مع بعضها كما في الترب الرملية تكون المسامية الكلية صغيرة، أما إذا كان انتظام الدقائق بشكل متجمع ومنتفظم في تجمعات مسامية كما هو الحال في الترب المتوسطة النسجة والطينية أو ذات المحتوى المرتفع من المادة العضوية إذ تكون المسامية الكلية كبيرة (Njm وMahdi, 1980 ,حسن، 1989 ،مهدي، 2005).

إن منحى الوصف الرطوبوي أحد القياسات الفيزيائية المهمة في التربة، إذ يوضح تحديد حركة الماء في التربة ويفيد في التعرف على سلوك التربة غير المشبعة في إمداد النبات بالماء ومدى قابلية التربة على الاحتفاظ بالرطوبة عند الشدود المختلفة. اقترحت معادلات رياضية وضعية (Empirical equation) كثيرة لوصف هذا المنحنى تستند بشكل رئيس الى توزيع حجوم المسام، وهذه يمكن أن تصنف خصائص رطوبة التربة خلال مديات شديدة، منها معادلة van Genuchten(1980) ذات الشكل المغلق(Closed form) والتي تستخدم على نطاق واسع لوصف منحنى الوصف الرطوبوي في الترب المثارة وغير المثارة على حد سواء (Leech et al., 2006, Mahdi, 2008)

بدأ استخدام دوال (PTFs)، في بداية القرن العشرين لتحديد معامل الذبول وعرفوه على انه المحتوى المائي للترابة عندما يكون النبات غير قادر على امتصاص الماء وعندما لا يستطيع النبات استعادة نشاطه حتى وان تم وضعه في محيط رطب بعدها وتعد دالة لتوزيع حجوم دقائق التربة التي تعد مهمة في نمو النبات. وتعرف دوال (PTFs) بأنها مجموعة من الدوال الوضعية والمشتقة من الدوال المثلثي احصائياً والتي تشمل

ثالثاً: شملت المجموعة الثالثة نماذج التربة للمواقع ذات النوعية الفيزيائية الضعيفة (DO-G5-NC و DO-TI-G8-NC و UN-G13-SI-G9-NC) وبلغت نسب الجبس فيها 88 و 123 و 135 و 172 غم كغم.¹ تربة على الترتيب، التربة الأولى والثانية والثالثة كانت غير مستغلة اما التربة الرابعة فكانت تربة مستغلة ومزروعة بمحصول الذرة الصفراء وبطريقة الري السطحي.

و 164 غم كغم.¹ تربة على الترتيب ، تميز موقع عينة التربة الأولى والثانية والرابعة والسادسة في هذه المجموعة بكونها غير مستغلة بينما كان موقع عينة التربة الثالثة مستغل ومزروع بمحصول الذرة الصفراء ويروى بطريقة الري السطحي اما موقع التربة الخامسة فكان مستغل ومزروع بمحصول الحنطة ويروى بطريقة الري السطحي.

جدول (1): احداثيات مواقع الترب الجبسية المختارة

المجموعة	رمز الموقع	اسم الموقع	محتوى التربة من الجبس (غم كغم ⁻¹)	احادات خط العرض	احادات خط الطول
المجموعة الأولى	DO- G1-NC	الدور/تربة غير مزروعة جامعة تكريت/مزروعة	030	34° 30' 25.10'' N	43° 48' 15.87'' E
	UN-G7-Di	بطاطا /ري بالتنقيط	110	34° 40' 46.12'' N	43° 38' 48.10'' E
	TI-G10-Si	الديوم/مزروعة حنطة/ري سطحي	140	34° 39' 34.37'' N	43° 38' 06.87'' E
	AL-G14- NC	العلم/تربة غير مزروعة	212	34° 40' 28.43'' N	43° 38' 12.42'' E
المجموعة الثانية	AL-G15- NC	العلم/تربة غير مزروعة	301	34° 40' 06.43'' N	43° 38' 52.43'' E
	DO-G2- NC	الدور/تربة غير مزروعة	042	34° 31' 14.61'' N	43° 46' 36.31'' E
	D0-G3- NC	الدور/تربة غير مزروعة	058	34° 31' 22.79'' N	43° 46' 18.66'' E
	UN-G4-Si	جامعة تكريت/مزروعة ذرة صفراء /ري سطحي	068	34° 40' 41.73'' N	43° 38' 20.10'' E
المجموعة الثالثة	DO-G6- NC	الدور/تربة غير مزروعة	103	34° 31' 10.37'' N	43° 46' 49.27'' E
	UN-G11-Si	جامعة تكريت/مزروعة/ري سطحي	150	34° 40' 49.32'' N	43° 46' 49.81'' E
	DO-G12- NC	الدور/تربة غير مزروعة	164	34° 30' 34.88'' N	43° 48' 28.58'' E
	DO-G5- NC	الدور/تربة غير مزروعة	088	34° 31' 07.83'' N	43° 46' 13.12'' E
	TI-G8- NC	الديوم/تربة غير مزروعة	123	34° 39' 45.09'' N	43° 38' 15.27'' E
	DO-G9- NC	الدور/تربة غير مزروعة	135	34° 31' 15.66'' N	43° 46' 19.38'' E
	UN-G13-Si	جامعة تكريت/مزروعة ذرة صفراء /ري سطحي	172	34° 40' 44.78'' N	43° 38' 40.71'' E
		=جامعة تكريت (Tikrit University ,UN)			

(Drip Irrigation, DI) =ري بالتنقيط

(Non Cultivated, NC) = غير مزروع

(Surface Irrigation, SI) =ري سطحي

سم وارتفاعها 5 سم. ادخلت الحلقات في التربة الرطبة باستخدام مطرقة مطاطة وبعد الوصول للعمق المطلوب (5 سم) ثم حفر خندق حول الحلقة لاستخراجها باستعمال سكين. اخذ 48 نموذج

=الدور (Door, DO)

= تكريت (Tikrit, TI)

= العلم (Alam, AL)

رطب سطح التربة لكل موقع من مواقع اخذ عينات التربة لتسهيل عملية الحصول على نماذج تربة غير مثاررة (undisturbed) باستخدام حلقات مصنوعة من مادة ال PVC قطرها الداخلي 4.5

Reynolds et al., 2009 واخذت العينات بالقرب من النباتات في الموقع المزروعة. نقلت العينات الى المختبر بواسطة حاويات اعدت سلفاً لهذا الغرض لكيلا يحصل تغير في بناء التربة اثناء نقلها وغلفت بأكياس نايلون للحفاظ عليها لحين اجراء القياسات والتحاليل المطلوبة. يبين جدول (2) بعض الخصائص الفيزيائية والكيميائية المطلوبة.

بيانات الموقع تربة نماذج الدراسة

غير مثار(undisturbed) من كل موقع على اساس 4 مكررات لكل شد من الشدود الرطوبية لمنحنى الوصف الرطوبى لكل موقع اذ بلغ عدد نقاط الشد الرطوبى لمنحنى الوصف الرطوبى 12 نقطة لكل موقع، تم اختيار سطح التربة لأخذ العينات والعمق 5 سم لأن هذا العمق يؤثر في العديد من العمليات البيئية المحددة لنمو المحصول من خلال انبات البذور وبزوج البادرات وظواهر تنشر التربة والتعرية والجريان السطحي للماء وغيره الماء في التربة

جدول (2). بعض الخصائص الفيزيائية والكيميائية لنماذج تربة موقع الدراسة

نماذج التربة	PH	الكتروتونات الكربونات الماء العضوية بنية	معان	أجل	Ca ²⁺	Mg ²⁺	Na ⁺	K ⁺	Cl ⁻	HCO ₃ ⁻	SO ₄ ⁼	المسامية	السعة التبادلية للأيونات الموجة	
1	DO-G1-NC	1	ـ	ـ	ـ	ـ	ـ	ـ	ـ	ـ	ـ	ـ	ـ	ـ
2	UN-G7-Di	2	ـ	ـ	ـ	ـ	ـ	ـ	ـ	ـ	ـ	ـ	ـ	ـ
3	TI-G10-Si	3	ـ	ـ	ـ	ـ	ـ	ـ	ـ	ـ	ـ	ـ	ـ	ـ
4	AL-G14- NC	4	ـ	ـ	ـ	ـ	ـ	ـ	ـ	ـ	ـ	ـ	ـ	ـ
5	AL-G15- NC	5	ـ	ـ	ـ	ـ	ـ	ـ	ـ	ـ	ـ	ـ	ـ	ـ
6	DO-G2- NC	6	ـ	ـ	ـ	ـ	ـ	ـ	ـ	ـ	ـ	ـ	ـ	ـ
7	DO-G3- NC	7	ـ	ـ	ـ	ـ	ـ	ـ	ـ	ـ	ـ	ـ	ـ	ـ
8	UN-G4-Si	8	ـ	ـ	ـ	ـ	ـ	ـ	ـ	ـ	ـ	ـ	ـ	ـ
9	DO-G6- NC	9	ـ	ـ	ـ	ـ	ـ	ـ	ـ	ـ	ـ	ـ	ـ	ـ
10	UN-G11-Si	10	ـ	ـ	ـ	ـ	ـ	ـ	ـ	ـ	ـ	ـ	ـ	ـ
11	DO-G12- NC	11	ـ	ـ	ـ	ـ	ـ	ـ	ـ	ـ	ـ	ـ	ـ	ـ
12	DO-G5- NC	12	ـ	ـ	ـ	ـ	ـ	ـ	ـ	ـ	ـ	ـ	ـ	ـ
13	TI-G8- NC	13	ـ	ـ	ـ	ـ	ـ	ـ	ـ	ـ	ـ	ـ	ـ	ـ
14	DO-G9- NC	14	ـ	ـ	ـ	ـ	ـ	ـ	ـ	ـ	ـ	ـ	ـ	ـ
15	UN-G13-Si	15	ـ	ـ	ـ	ـ	ـ	ـ	ـ	ـ	ـ	ـ	ـ	ـ

و 100 و 200 و 400 و 800 و 1500 كيلو باسكال. قدر المحتوى الرطوبى الوزنى لكل عينة من عينات التربة عند الشدود الرطوبية المختلفة بعد تجفيفها بالفرن عند درجة حرارة 105 درجة مئوية ثم حسب المحتوى الرطوبى الحجمي عند كل شد رطوبى لكل نموذج من نماذج التربة.

منحنى الوصف الرطوبى

قدر المنحنى الوصف الرطوبى لعينات التربة بعد ترطيب عينات الترب غير المثارة عن طريق الخاصية الشعرية لمدة 24 ساعة ثم عرضت للشدود الرطوبية 0 و 1 و 2 و 4 و 8 و 10 و 33 و 100 و 200 و 400 و 800 و 1500 كيلو باسكال. قدرت الحدود الدنيا لمنحنى الوصف الرطوبى لعينات التربة الغير المثارة (Undisturbed) باستخدام اقماع زجاجية ذات افراص مسامية (Cintered glass funnels) قطر فتحاتها 20 مايكرون لمدى الشد الرطوبى 1 و 2 و 4 و 8 كيلوباسكال استخدم جهاز افراص الضغط (Pressure plate Apparatus) للشدود 10 و 33

دالة توزيع احجام المسام function (Pore volume distribution)

تعرف دالة توزيع احجام المسام $S_v(h)$ على بانها انحدار منحنى الوصف الرطوبى معبراً عنها كمحتوى رطوبى حجمي Θ_v (m^3/m^3)

$$\theta_v = (BD)\theta_g \dots\dots\dots(3)$$

$$S_v(h) = (BD)S_g(h) \dots\dots\dots(4)$$

وكنتيجة لذلك سيكون:

$$S^*(h) = \frac{m(\alpha h)n\{1+m-1\}(m+1)}{\{1+(\alpha h)n\}(m+1)} ; \quad 0 \leq S^*(h) \leq 1 \dots\dots\dots(5)$$

لذا فإن قيمة $S^*(h)$ تكون مستقلة وغير مرتبطة بالكتافة الظاهرية والمسامية وتتوفر إمكانية مقارنة توزيع حجم المسام بين المواد المسامية المختلفة. يمكن وصف و مقارنة توزيع احجام المسام باستخدام عوامل الموقع (Location) والشكل (shape)، اذ تضم عوامل الموقع، قيم المنوال (mode) و الوسيط (median) والمتوسط الحسابي لقيم d_e (mean) والتي تمثل مقاييس التمركز (central tendency)، اما عوامل الشكل فتتضمن الانحراف القياسي (SD) والانحراف (Skewness) والتفرطح (Kurtosis). من خلال عوامل الموقع يمكن حساب d_e من المعادلة التالية:

$$d_e = \frac{2980\alpha}{(\theta - 1/m - 1)1/n} ; \quad 0 \leq \theta \leq 1 \dots\dots\dots(6)$$

حسبت قيم الوسيط (median) والمنوال (mode) من العلاقة التالية:

$$d_{\text{median}} = d_{0.5} = \frac{2980\alpha}{(0.5^{-1/m} - 1)1/n} ; \quad \theta = 0.5 \dots\dots\dots(7)$$

$$d_{\text{mode}} = \frac{2980\alpha}{(\theta_i^{-1/m} - 1)1/n} = \frac{2980\alpha}{m^{-1/n}} \dots\dots\dots(8)$$

عندما تكون قيمة $\theta = 0.5$ فإنها تمثل الوسيط لقيمة (d_{median}, d_e) والمنوال (d_{mode}, d_e) يتوافق مع المحتوى الرطوبى النسبي (Θ_i) او الشد (h_i) لمنحنى الوصف الرطوبى. ان اكثر حساب واقعى

³ مقابل اللوغاريتم الطبيعي للشد المسلط $[ln(h)]$ او ما يعادلها من قطر المسام d_e (μm) بمقاييس لوغاريتمي $(\text{Log}_{10} \text{Jena})$ and Gapta,2002) لذا فإن المنحنى الناتج على شكل جرس (bell shaped) لتوزيع المسام يكون احصائيا لوغاريتمي خطى. وتحسب قيم d_e باستعمال معادلة الخاصية الشعرية التالية .(Warrick ,2002)

$$d_e =$$

$$\frac{4\gamma \cos \omega}{\rho_w g h} \approx \frac{2980}{h} ; \quad h > 0 \text{ (cm)} ; \quad d_e (\text{um}) ; \quad 20C \dots\dots\dots(1)$$

اذ ان

$$\gamma = \text{الشد السطحي المائي للمسام (72.8 غم ثانية}^{-2}\text{)}$$

$$\rho_W = \text{كتافة الماء (0.998 غم سم}^{-3}\text{)}$$

$$g = \text{التعجيل الأرضي (980 سم ثا}^{-2}\text{)}$$

$$\omega = \text{زاوية التماس (0)}$$

حسبت دالة توزيع حجم المسام المقىس (Normalized pore volume) من العلاقة التالية:

$$S^*(h) = \frac{m(\alpha h)n\{1+m-1\}(m+1)}{\{1+(\alpha h)n\}(m+1)} ; \quad 0 \leq S^*(h) \leq 1 \dots\dots\dots(2)$$

اذ ان:

α (hpa^{-1}) و n (بدون وحدات) و m (بدون وحدات) هي معاملات تجريبية لأفضل منحنى باعتبار ان $m=1-(1/n)$.

اذا اعتبرنا ان الكثافة الظاهرية للتربة (BD) ثابتة لمدى شد معين لمنحنى الوصف الرطوبى. لذا فإن المحتوى الرطوبى الحجمي θ_v يمكن حسابه في:

Blott فأنها تشير الى انخفاض الذروة عند الوسط (kurtosis<1). (and Pye, 2001).

النتائج والمناقشة

اعتبرت المجموعة الاولى التي ضمت خمس ترب مختلفة بمحتوها من الجبس ونظام الادارة المتبعة هي المجموعة المثلث لصفات التربة الفيزيائية جدول 3، اذ اظهرت هذه المجموعة افضل Normalized pore S^* , (h) توزيع لحجم المسام المقيس (volume) والتي كانت متماثلة الى حد كبير من حيث عوامل الشكل والموقع (Shaped and location parameters) وبناءً على ذلك اعتبر توزيع المسام الامثل في الترب الخمس ممثلاً لهذه المجموعة (شكل 1b) وتم ادراج المديات المثلث لعوامل الموضع والشكل في الجدول 3.

وفقاً لمعايير Boltt and Pye (2001) فإن توزيع المسام الصغيرة والكبيرة كانت متاظرة وبلغت ذروتها في الوسط كما يلاحظ ان قيمة $d_{mode} < d_{median}$ وهذا يتفق مع انحراف قوي نحو المسام ذات الاقطر الصغيرة (شكل 1b، جدول 3، المجموعة الاولى).

تم الحصول على منحنى الوصف الرطبوبي الامثل (شكل 1c) الذي يمثل متوسط ومدى منحنيات الوصف الرطبوبي المقيس (Normalized release curve) واستخدمت قيم هذه المجموعة (h) وتدخلات نظم الادارة المختلفة لتقدير توزيع حجم المسام ، اذ يلاحظ ان قيمة d_{mode} لهذه المجموعة كانت بين $d_{median} \leq 45$ مايكرون ، بينما كانت قيمة الوسيط $d_{median} \leq 33$ لهذه المجموعة تتراوح بين $d_{median} \leq 203$ ≤ 25 مايكرون لكل من نماذج الترب Si – Ti – G7 – Di و UN – G7 – Di ، وكانت اقل قيمة للمتوسط الحسابي d_{mean} عند نموذج التربة AL – G15 – NC اذ بلغت 6.7 مايكرون وكانت اعلى قيمة للمتوسط الحسابي عند نموذج التربة Di – G7 – UN اذ بلغت 162 مايكرون، اما قيمة الانحراف القياسي SD فكانت اقل قيمة عند نموذج التربة AL – G4 – NC اذ بلغت 27.2 . كانت النسب

لانتشار (Spreading) و عدم التناقض (asymmetry) لتوزيع احجام المسام يتمثل بالمتوسط الهندسي (geometric standard deviation, d_{mean}) والانحراف القياسي (mean, SD) . والانحراف (Skewness) و القرطاح (Kurtosis) والتي يتم حسابها من العلاقات التي اقترحها Blott and pye (2001) لوصف توزيع احجام الدقائق.

$$d_{mean} = \exp\left(\frac{lnd_{0.16} + lnd_{0.50} + lnd_{0.84}}{3}\right) \dots (9)$$

$$SD = \exp\left(\frac{lnd_{0.84} - lnd_{0.16}}{4} + \frac{lnd_{0.95} - lnd_{0.05}}{6.6}\right); 1 \leq SD < \infty \dots \dots \dots (10)$$

العامل SD يعد مقياس لمدى حجم قطر المسام المكافئ ، فعندما تكون قيمة $SD = 1$ فإن ذلك يدل على عدم وجود اختلاف في اقطار المسام (أي ان جميع المسام بنفس الحجم) وان زيادة قيمة SD تشير الى زيادة مدى اقطار المسام.

$$\text{Skewness} = \frac{1}{2} \left\{ \frac{lnd_{0.16} + lnd_{0.84} + 2(lnd_{0.50})}{lnd_{0.84} - lnd_{0.16}} + \frac{lnd_{0.05} + lnd_{0.95} - 2(lnd_{0.50})}{(lnd_{0.95} - lnd_{0.05})} \right\} 1 \leq \text{skewness} \leq +1 \dots \dots \dots (11)$$

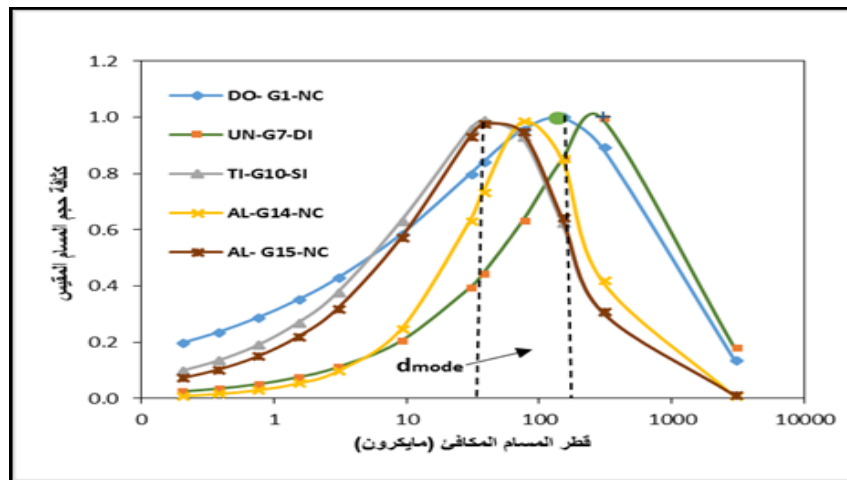
عندما تكون قيمة Skewness = 0 فأنها تشير الى كون التوزيع لوغاريتمي طبيعي(أي متماثل على المقياس اللوغاريتمي) بينما القيم السالبة تشير الى زيادة المسام الصغيرة نسبة الى توزيع اللوغاريتم الطبيعي . اما القيم الموجبة فأنها تشير الى وجود زيادة في المسام الكبيرة.

$$\text{Kurtosis} = \frac{lnd_{0.05} - lnd_{0.95}}{2.44(lnd_{0.25} - lnd_{0.75})}; 0.41 \leq \text{kurtosis} < \infty \dots \dots \dots (12)$$

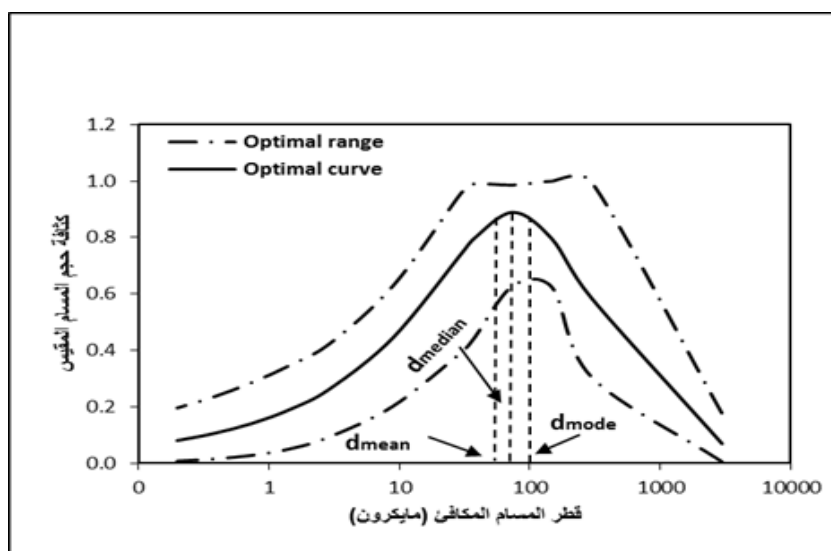
وعندما تكون قيمة kurtosis=1، فأنها تشير الى كون توزيع المسام لوغاريتمي طبيعي، وعندما تكون قيمة kurtosis>1 فأنها تشير الى الوصول الى الذروة عند الوسط وعندما تكون

قيمة P_{MAC} المثلثي هي حوالي 9.7% من اجمالي المسامية والسعه الهوائية (AC) هي حوالي 49.7 من اجمالي المسامية الكلية وسعة الماء الجاهزة للنبات (PAWC) تشكل حوالي 34.5% من اجمالي المسامية الكلية. وكانت قيم الكثافة الظاهرية المثلثي تتراوح بين 1.4 و 1.55 ميكاغرام m^{-3} وقيم الكثافة الحقيقية المثلثي بين 2.48 و 2.61 ميكاغرام m^{-3} والتي تم حسابها من العلاقة التالية بين الكثافة الحقيقة ومحتوها من الجبس ($Ps=3\times10^{-3}(G1)+2.6259$)³ والمفترحة من قبل الرستم (2010).

متقارنة بين قيم SD بمقدار 9% بينما كانت اعلى قيمة للانحراف (Skewness) عند نموذج التربة AL – G14 – NC اذ بلغت -0.17 ، واقل قيمة عند نموذج التربة Do-G1-NC التي بلغت -0.34 ، اما قيم التفرطح (Kurtosis) فتراوحت قيمتها بين 1.14 و 1.15 وكانت النسبة متقارنة بين القيم بمقدار 0.9%. اما قيمة d_{mode} (نقطة الانقلاب لمنحنى الوصف الرطوبي) كانت عند نسبة تشبع 0.59 % وشد 21 سم وقيمة الوسيط d_{median} عند نسبة تشبع 0.52 % وشد 40 سم وقيمة المتوسط الحسابي d_{mean} عند نسبة تشبع 0.49 % وشد 55 سم ، واعتماداً على هذا المنحنى فأن



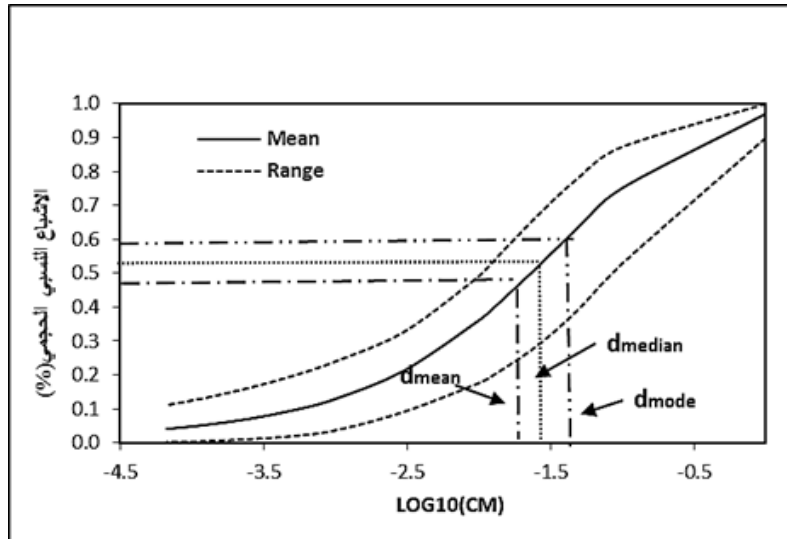
شكل (1a). العلاقة بين قطر المسام المكافئ وكثافة حجم المسام المقيس للمجموعة الأولى ذات نوعية التربة الفيزيائية جيدة جدا.



شكل (1b). العلاقة بين قطر المسام المكافئ وكثافة حجم المسام المقيس الأمثل.

جدول(3) يبين قيم دوال توزيع احجام وشكل المسام

kurtosis	Shape parameters		Location parameters			نموذج التربة	المجموعة
	Skewness	SD	d_{mean}	d_{median}	d_{mode}		
1.15	-0.342	27.22	22.41	40.280	131.580	DO- G1-NC	
1.15	-0.241	6.67	161.38	203.000	331.800	UN-G7-Di	
1.15	-0.259	7.98	19.61	25.820	45.650	TI-G10-Si	الجودة الأولى
1.14	-0.179	3.83	60.46	68.260	88.320	AL-G14- NC	
1.15	-0.243	6.77	6.77	30.490	99.940	AL-G15- NC	
1.15	-0.358	39.10	5.71	11.310	46.870	DO-G2- NC	
1.14	-0.386	90.00	12.20	30.210	206.400	D0-G3- NC	
1.15	-0.330	21.41	9.26	15.620	45.990	UN-G4-Si	
1.15	-0.375	61.32	3.94	8.800	47.620	DO-G6- NC	
1.15	-0.293	12.08	24.24	35.290	76.570	UN-G11-Si	المجموعة الثانية
1.15	-0.307	14.04	12.04	18.420	44.220	DO-G12- NC	
1.13	-0.411	280.00	0.17	0.570	8.050	DO-G5- NC	
1.14	-0.397	154.12	1.99	5.460	47.810	TI-G8- NC	
1.14	-0.388	93.74	4.06	10.170	71.300	DO-G9- NC	
1.14	-0.380	71.62	3.00	6.990	41.330	UN-G13-si	
1.14-1.15	0.34-0.17	3-28	6-162	25-203	45-331	المدى الامثل	



شكل (1c). العلاقة بين اللوغاريتم الطبيعي للشد والاشباع النسبي الحجمي للمنحنى الأمثل. بينت النتائج ان للإدارة المتتبعة تأثير في درجة الاشباع النسبي وكانت قيم درجة الاشباع لنموذج التربة TI-G10-SI اعلى من قيم درجة الاشباع لنموذج التربة UN-G7-DI ، ويعود سبب ذلك الى طريقة الحراثة المتتبعة اذا كانت طريقة الحراثة المتتبعة في نموذج التربة TI-G10-SI الحراثة المختصرة بينما كانت طريقة الحراثة المتتبعة في نموذج التربة UN-G7-DI الحراثة التقليدية ويتواافق هذا مع ما أشار اليه Buezko et al. (2006)

شكل (1a) اذا كانت اعلى قيم لكثافة حجم المسام ذات الأقطار الصغيرة واقل قيمة لكثافة حجم المسام ذو الأقطار الكبيرة لنموذج التربة TI-G10-SI، بينما كانت اقل كثافة لحجم المسام ذو الأقطار الصغيرة لنموذج التربة واعلى كثافة لحجم المسام ذات الأقطار الكبيرة لنموذج التربة UN-G7-DI ،

Skewness \leq -0.29 بينما تراوحت قيم التقرطح Do-G9-NC-Kurtosis \leq 3.15 UN-SI . اظهرت هذه المجموعة توزيع حجم المسام المقيس بشكل اوسع من توزيع حجم المسام للمجموعة المثلثى مع عدد اكبر لحجم المسام ذو الاقطرار الصغيرة وعدد اقل من حجم المسام ذو الاقطرار الكبيرة (شكل 2a) و ذروة المنحنى بقيت متزامنة مع ذروة المنحنى الامثل. بلغت اعلى قيم لكثافة حجم المسام ذات الاقطرار الصغيرة لنماذج التربة DO-G6-NC و DO-G2-NC ، واعلى كثافة لحجم المسام ذو الاقطرار الكبيرة لنماذج التربة DO-G3-NC و اقل كثافة لحجم المسام ذو الاقطرار الصغيرة لنماذج التربة UN-G11-SI بينما كانت اقل كثافة لحجم المسام ذات الاقطرار الكبيرة لنماذج التربة Do-G12-NC . يبين شكل 2b منحنى الاشباع النسبى الحجمي اذ يلاحظ من الشكل ان درجة التشبع كانت متماثلة من حيث الشكل لمنحنى الامثل ولكن بدرجة اعلى قيم التشبع ويعود سبب ذلك الى ضعف درجة التهوية (AC) وزيادة السعة الحقلية المرجعية (RFC) (Rheological Capacity) وانخفاض قيم المسامية الكبرى والبناء الهيكلي SI بالإضافة الى انخفاض نوعية التربة الفيزيائية. يتواافق هذا مع زيادة حجم المسام ذات الاقطرار الصغيرة وعدم كفاية المسامات الكبيرة وزيادة الاحتفاظ بماء التربة، وبلغت اعلى قيم لدرجة الاشباع عندما كان الشد مقارب للصفر وكان نماذج التربة UN-G11-SI اقرب ما يكون لقيم المنحنى الامثل ، اذ كانت قيمة d_{mode} (نقطة الانقلاب لمنحنى الوصف الرطبوي للمجموعة الثانية) عند نسبة التشبع 0.58% وشد مقداره 38.9 سم وقيمة d_{median} عند نسبة تشبع 0.50% وشد مقداره 84.4 سم وقيمة d_{mean} عند نسبة تشبع 0.46% وشد مقداره 122.9 سم . كانت اعلى قيمة لدرجة التشبع لهذه المجموعة (شكل 2b) عند نماذج التربة Do-G6-NC اذ كانت قيمة d_{mode} عند نسبة تشبع 0.68% وشد مقداره 62.5 سم وقيمة d_{median} عند نسبة تشبع 0.53% وشد مقداره 338.4 سم ، وقيمة d_{mean} عند نسبة تشبع 0.45% وشد مقداره 7.56 سم. يبين جدول 3 توزيع احجام وشكل المسام لمجموعة الترب الثالثة، اذ

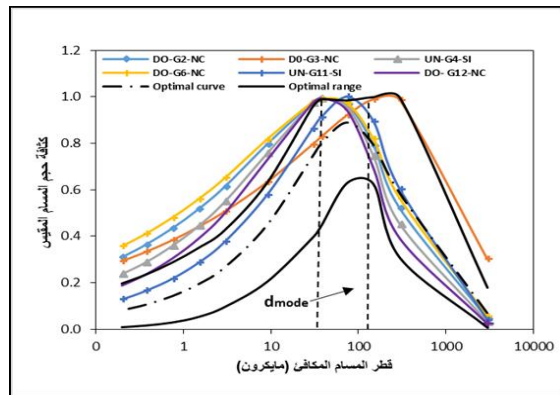
من أن استخدام الحراثة التقليدية يؤدي الى حصول انخفاض بالمسامية اذا ما قورنت بنظام الحراثة المختصرة (Reduced tillage) بالإضافة الى ما توصل اليه جاسم وأخرون (2006) من أن الزراعة بدون حراثة تفوقت على الحراثة التقليدية في قابليتها بالاحفاظ بالماء. اضافة الى ذلك يلاحظ انخفاض المسامية في نموذج التربة UN-G7-DI والذي يتواافق هذا مع استنتاج sunbitan (2005) من إن المسامية كانت أعلى في التربة المحروثة بالطريقة المختصرة مقارنة بالتقليدية. كذلك لعبت المادة العضوية دورا في زيادة حجم المسامات الصغيرة وتحسين خصائص التربة الفيزيائية ومنها بناء التربة وزيادة ثبات التجمعات وزيادة نفاذية للتربة و المسامية مما يساعد في حصول حركة عالية للماء خلال التربة فضلاً الى زيادة قابلية التربة على الاحفاظ بالماء، ويتوافق هذا لما أشار اليه العبيدي(2001) ان اضافة المخلفات العضوية على هيئة سماد عضوي يعمل على زيادة قطر حبيبات التربة وبالتالي زيادة قابلية التربة على الاحفاظ بالماء، كذلك تؤدي اضافة المخلفات العضوية الى زيادة المحتوى الرطوبى في التربة بحوالى 1.85% ووجد ايضاً انخفاض في قيم الكثافة الظاهرية وزيادة المسامية ويرجع السبب في ذلك الى دخول المخلفات العضوية (المحسنات) المضافة الى داخل المسامات الكبيرة مما ادى الى تصغير حجم المسامات النافلة . اما المجموعة الثانية والتي ضمت ست نماذج تربة (جدول 3)، كانت قيم d_{mode} فيها تتراوح بين 44 \leq d_{mode} \leq 206 ميكرون لكل من DO-G3-NC DO-G2-NC و نموذج التربة DO-G3-NC بينما كانت قيم الوسيط d_{median} والمتوسط الحسابي d_{mean} اقل من 8.8 \leq d_{median} \leq 35.6 مايكرون وبلغت قيم الوسيط 3.9 \leq d_{mean} \leq 24.2 مايكرون وبلغت قيم المتوسط الحسابي UN-G11-SI و كانت قيم الانحراف القياسي SD اكبر من قيم المجموعة المثلثى اذ كانت القيم UN-SD \leq 90 لكل من نموذجي التربة Do-G3-NC و G11-SI اما قيم الالتواء (Kurtosis) والتقرطح (Skewness) وكانت مماثلة لقيم المجموعة المثلثى اذ تراوحت قيم الالتواء بين -

سعة الماء الجاهز للنبات (PAWC) (0.24 m^3). بينما كانت اقل قيمة لدرجة التشبع هي لنموذج التربة Do-G9-NC لهذه المجموعة اذ كانت قيمة d_{mode} عند نسبة تشبع 0.7% وشد مقداره 41.8 سم و قيمة d_{median} عند نسبة تشبع 6.53% وشد مقداره 293 سم و قيمة d_{mean} عند نسبة تشبع 0.45% شد مقداره 733 سم.

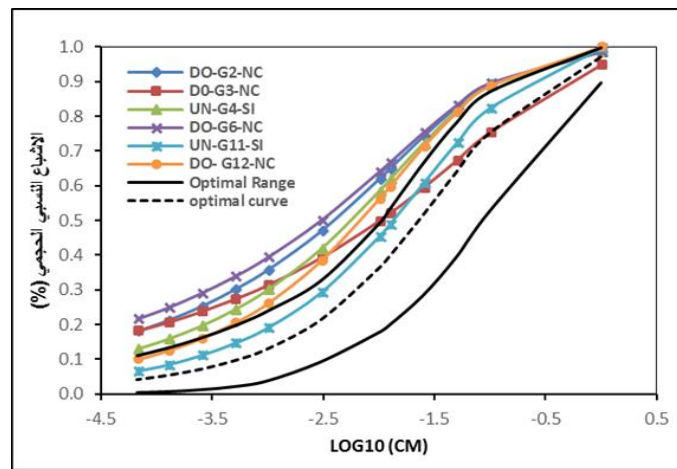
الاستنتاجات:

1. إن مؤشر نوعية التربة الفيزيائي (Dexter-S) أعطى نتائج إيجابية لتقدير نوعية الترب الفيزيائية تحت نظام الري السطحي والتنقيط، واعتبرت مثلثي (Optimal) بموجب قيم (Dexter-S).
2. أفضل توزيع لحجم المسام المقيس كانت لمجموعة الترب الأولى التي كانت متماثلة إلى حد كبير من حيث عوامل الشكل والموقع وبناءً على ذلك اعتبر توزيع المسام الأمثل في هذه الترب الخمس ممثلاً لهذه المجموعة، ولعب حجم المسام دور في قابلية التربة على الاحتفاظ بالماء وتأثيره في السعة الحقلية النسبية والسعة الهوائية بالإضافة إلى درجة الإشباع النسبي إذ تزداد درجة الإشباع بزيادة المسام ذي الأقطار الصغيرة.
3. إن لإدارة التربة المتباينة تأثير في المؤشرات النوعية الفيزيائية للتربة توزيع حجم المسام إذ كان لطريقة الحراثة دور في توزيع أحجام المسام بالإضافة إلى طريقة الري المستخدمة والمحتوى الجبسي في التربة.
4. ان العلاقة كانت ضعيفة بين درجة رص التربة ومؤشر Dexter-S (ولكن كان هناك ارتباط بين درجة الرص ومسامية التربة إذ أدت انخفاض المسامية إلى زيادة درجة رص التربة.

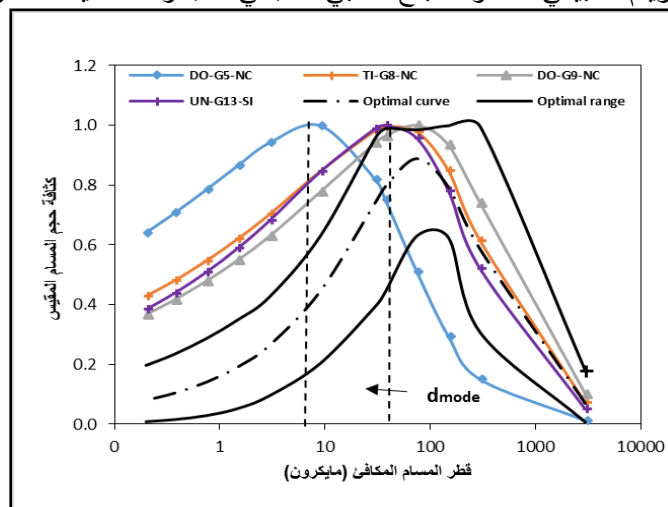
يلاحظ حصول زيادة في حجم المسام ذات الأقطار الصغيرة والتي كانت أعلى من قيم المنحني الامثل اذ كانت أعلى قيمة لحجم المسام ذات الأقطار الصغيرة لنموذج التربة Do-G5-NC بينما كانت اقل نسبة لحجم المسام الصغيرة لنموذج التربة DO-G9-NC (شكل 3a)، اما كثافة حجم المسامات الكبيرة فكانت مماثلة لأحجام المسامات للمنحني الامثل ما عدا نموذج التربة DO-G5-NC الذي اعطى اقل كثافة لحجم المسام ذات الأقطار الكبيرة. كانت قيم كل من d_{mode} و d_{median} و d_{mean} اقل من المجموعة المثلثي (جدول 3 ، المجموعة الثالثة) اذ بلغت $0.57 \leq d_{median} \leq 10.1$ مايكرون بينما كانت $8 \leq d_{mode} \leq 71.3$ مايكرون و $0.17 \leq d_{mean} \leq 4$ مايكرون لكل من نموذج التربة-Do-G5-NC و DO-G9-NC ، وازدادت قيم الانحراف القياسي SD، اذ كانت $71 \leq SD \leq 280$ كما أن قيم الانحراف (Skewness) كانت أعلى من قيم المجموعة المثلثي والتي تراوحت بين $-0.38 \leq Skewness \leq -0.41$. اما قيم التفرطع (Kurtosis) فكانت مقاربة لقيم المجموعة المثلثي اذ بلغت $1.17 \leq Kurtosis \leq 1.14$. يبين شكل 3b العلاقة بين اللوغاريتم الطبيعي للشد ودرجة التشبع الحجمي، اذ كانت درجة الإشباع ذات قيم أعلى من قيم المنحني للمجموعة المثلثي الا ان درجة الإشباع كانت أعلى ما يمكن عندما يكون الشد مقارب للصفر وكانت أعلى قيم لدرجة التشبع لنموذج التربة Do-G5-NC ذا كانت قيمة d_{median} عند نسبة تشبع 0.57% وشد مقداره 370 سم وقيمة d_{mean} عند نسبة تشبع 0.53% وشد مقداره 5515 سم وقيمة d_{median} عند نسبة تشبع 0.45% وشد مقداره 1773 سم ويعود سبب ذلك لزيادة السعة الحقلية المرجعية (RFC) اذ كانت هي أعلى قيمة اذ بلغت (0.78 m^3) وانخفاض قيمة السعة الهوائية (AC) اذ بلغت (0.1 m^3) وكانت



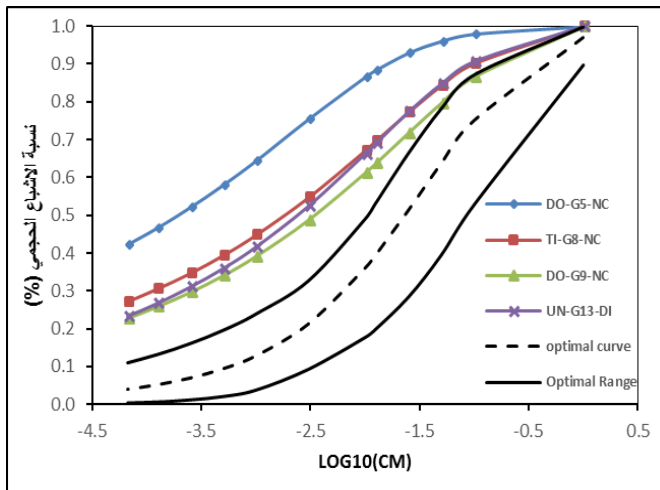
شكل (2a): العلاقة بين قطر المسام المكافى وكثافة حجم المسام المقاييس للمجموعة الثانية ذات نوعية التربة الفيزيائية الجيدة.



شكل (2b). العلاقة بين اللوغراریتم الطبيعي للشد والاشتراك النسبي الحجمي للمجموعة الثانية ذات نوعية التربة الفيزيائية الجيدة.



شكل (3a). العلاقة بين قطر المسام المكافى وكثافة حجم المسام المقاييس للمجموعة الثالثة ذات نوعية التربة الفيزيائية الضعيفة



شكل (3b). العلاقة بين اللوغاريتم الطبيعي للشد والاشباع النسبي الحجمي للمجموعة الثالثة ذات نوعية التربة الفيزيائية الضعيفة.

العبيدي، باسم شاكر. 2001. تدبیل مصادر عضویة مختلفه في التربة وعلاقتها بالكلس. رساله ماجستير كلية الزراعة - جامعة بغداد.
نجم، محمد عبد الله وخالد بدر حمادي. 1980. الري. وزارة التعليم العالي والبحث العلمي. جامعة البصرة.
مهدي، نمير طه. 2005. تأثير محتوى الجبس في دوال نقل الماء في التربة خلال الغيض الاقفي. مجلة العلوم الزراعية العراقية. 36 : (5) 10-1 .

Blott, S.J., Pye, K., 2001. Gradistat: a grain size distribution and statistics package for the analysis of unconsolidated sediments. Earth Surf. Process. Landforms 26, Proceedings 23 (4), 277–284.

Buccigrossi, F., A. Caliandro, P. Rubino, and M. A. Mastro. 2010 Testing Some Pedotransfer Functions (PTFs) in Apulia Region. Evaluation on the Basis of Soil Particle Size Distribution and Organic Matter Content for Estimating Field Capacity and Wilting Point. *Ital. J. Agron. / Riv. Agron.* 4:367-381.

Buezko,V.O., Bens and R.F.Huttl 2006. Tillage effects on hydraulic properties and macroporosity in silty and sandy soil .*soils sci. sco. AMJ.*70:1998-2007.

Jafarnejadi, A. R., G. A. Sayyad., R. R. Arshad, and A. Hossein. 2012. Pedotransfer function development for field capacity and wilting points using artificial neural network

المصادر:
حسن، فقيبة محمد. 1989. اختبار نماذج رياضية للتتبؤ عن بعض الصفات المائية للترب العراقية. 3: ايصالية مار التربة في الحالة غير المشبعة. مجلة العلوم الزراعية العراقية. 20 (1): 590-580.
الرسنم، منتصر ناجي عبد الله خضير. 2010. تقييم دوال نقل الماء أثناء الغيض الاقفي والعمودي لنوعيتي المياه في ترب ذات محتوى جبسي مختلف. رساله ماجستير – كلية الزراعة – جامعة تكريت.

and regression models. *International Journal of Agriculture.* 2(S): 1079-1084.
Jena, A., Gupta, K., 2002. Determination of pore volume and pore distribution by liquid extrusion porosimetry without using mercury. *Ceramic Engineering & Science.*
Keshavarzi, A., F. Sarmadian, M. Sadeghnejad, and P. Pezeshki. 2010. Developing Pedotransfer Functions for estimating some Soil Properties using Artificial Neural Network and Multivariate Regression Approaches. *Proenvironment.* 3: 322-330.
Leech, C., D. Lockington, and R. D. Hooton. 2006. Estimation of water retention curve from mercury intrusion porosimetry and van Genuchten model. *ACI structural J.* 103: 2872-2876.
Mahdi, N.T. 2008. Effect of gypsum content on soil-water characteristic curve and unsaturated hydraulic conductivity in soil.

- Iraqi Journal of Agricultural Science.* 39(3): 10-23.
- Moreira, L. F. F., A. M. Righetto, and V. M. de A. Medeiros. 2004. Soil Hydraulics Properties Estimation by Using Pedotransfer Functions in a Northeastern Semiarid Zone Catchment, Brazil. *Engenharia Sanitária/ Universidade Federal do Rio Grande do Norte.* 6p.
- Neelam, A. Aggarwal, A. Gaur, E. Bhalla, and S. R. Gupta. 2010. Soil Aggregate Carbon and Diversity of Mycorrhiza as Affected by Tillage Practices in a Rice-Wheat Cropping System in Northern India. *Int. J. Ecol. Environ. Sci.*, 36(4): 233-243.
- Osunbitan J.O. 2005. Tillage effects on bulk density, hydraulic conductivity and strength of a loamy sand soil in South Western Nigeria. *Soil and Tillage research.* 82: 57-64: 1237–1248.
- Rawls, W. J., Pachepsky, Y.A., Ritchie, J.C., Sobeckic, T.M. and H. Bloodworthc. 2003. Effect of soil organic carbon on soil water retention. *Geoderma.* 116: 61–76.
- Reynolds, W.D., Drury, C.F., Tan, C.S., Fox, C.A., Yang, X.M., 2009. Use of indicators and pore volume-function characteristics to quantify soil physical quality. *Geoderma* 152, 252–263.
- Shalmani, A. A., M. S. Shahrestani, H. Asadi, and F. Bagheri. 2010. Comparison of Regression Pedotransfer Functions and Artificial Neural Networks for Soil Aggregate Stability Simulation. *World Applied Sciences Journal.* 8 (9): 1065-1072.
- Warrick, A.W., 2002. *Soil Physics Companion.* CRC Press LLC, Boca Raton, USA.
- Wosten, J. H. M., and M. Th. van Genuchten. 1988. Using Texture and Other Soil Properties to Predict the Unsaturated Soil Hydraulic Functions. *Soil Sci. Soc. Am. J.* 52:1762-1770.